### Note au candidat

- Les vecteurs sont notés en caractères gras dans le texte.
- Le sujet est divisé en 3 problèmes indépendants.
- Il est vivement conseillé au candidat de lire préalablement l'intégralité du sujet.
- Il sera tenu compte de la clarté, de la précision ainsi que de la concision de la rédaction.

#### PREMIER PROBLEME

#### LANCER DE POIDS

Un athlète, de hauteur H bras levé, lance un poids de masse m avec une vitesse initiale  $\mathbf{v_0}$  située dans le plan yOz, sous l'angle  $\alpha$  par rapport au sol (cf. figure 1).

Le but de ce problème est d'étudier la modélisation d'un lancer puis de déterminer les conditions du « meilleur lancer ».

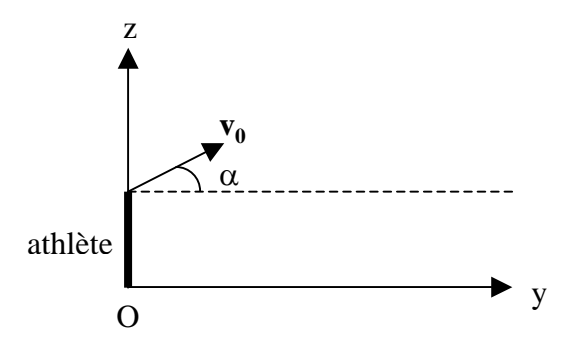


Figure 1.

La surface de la Terre, horizontale et plane, est confondue avec le plan (Ox,Oy). Le trièdre orthonormé (Ox,Oy,Oz) lié au sol terrestre sera supposé galiléen. L'intensité  $g_0$  du champ de pesanteur terrestre est considérée comme constante.

Pour les applications numériques on prendra : m = 5 kg,  $v_0 = 10$  m.s<sup>-1</sup>,  $g_0 = 10$  m.s<sup>-2</sup> et H = 2 m.

#### 1 Etude du lancer

On suppose que le poids n'est soumis qu'à la force de pesanteur.

- 1.1 Déterminer la nature du mouvement du poids selon l'axe Oy.
- 1.2 Exprimer, en fonction de  $v_0$ ,  $g_0$  et  $\alpha$ , la durée  $T_S$  nécessaire pour que le poids atteigne le sommet S de sa trajectoire.

On note (y<sub>S</sub>,z<sub>S</sub>) les coordonnées du sommet S de la trajectoire du poids.

- 1.3 Etablir l'expression de la coordonnée y<sub>s</sub>.
- 1.4 Enoncer le théorème de l'énergie mécanique.
- 1.5 Calculer l'énergie mécanique du poids à l'instant où il quitte la main de l'athlète. On supposera l'énergie potentielle du poids nulle au niveau du sol.
- 1.6 En utilisant les résultats des questions 4 et 5, déterminer l'expression de la coordonnée z<sub>s</sub>.
- 1.7 Retrouver le résultat de la question précédente par une autre méthode.
- 1.8 <u>Application numérique</u>: pour le cas  $\alpha = 30^{\circ}$ , calculer les valeurs numériques de T<sub>S</sub>, y<sub>S</sub> et z<sub>S</sub>.

### 2 Détermination du meilleur lancer

On cherche à déterminer l'angle  $\alpha_m$  qui réalise le meilleur lancer pour une vitesse initiale  $v_0$  fixée. On suppose  $\alpha$  compris entre 0 et  $\pi/2$ .

- 2.1 Etablir l'équation du second ordre régissant la coordonnée  $y_C$  du point de chute du poids sur le sol. On mettra cette équation sous la forme :  $A.y_C^2 + B.y_C + C = 0$ , avec  $A = g_0/(2.v_0^2)$ , B et C étant des paramètres ne dépendant que de H et  $\alpha$ .
- 2.2 Etablir l'expression de  $dy_C/d\alpha$  en fonction de  $y_C$ , H,  $\alpha$ ,  $v_0$  et  $g_0$ .
- 2.3 En déduire l'expression du meilleur lancer  $y_C = y_{Cm}$  en fonction de H,  $\sin(\alpha_m)$  et  $\cos(\alpha_m)$ .
- 2.4 Montrer que  $tan^2(\alpha_m)$  peut se mettre sous la forme :  $tan^2(\alpha_m) = \frac{1}{1+a.H}$ , où a est une constante ne dépendant que de  $g_0$  et  $v_0$ .
- 2.5 Etablir l'expression de  $y_{Cm}$  en fonction de H,  $g_0$ , et  $v_0$ . On pourra préalablement exprimer  $y_{Cm}$  en fonction de  $tan(\alpha_m)$  à partir du résultat de la question 2.3, puis utiliser le résultat de la question précédente.
- 2.6 Etudier qualitativement l'influence de la taille de l'athlète sur le meilleur lancer.
- 2.7 <u>Application numérique</u> : calculer  $y_{Cm}$  à partir des données du problème.

### **DEUXIEME PROBLEME**

#### ARC-EN-CIEL

L'objectif de ce problème est d'expliquer le phénomène de l'arc-en-ciel qui a lieu dans les conditions grossièrement décrites par la figure 2 ci-dessous.

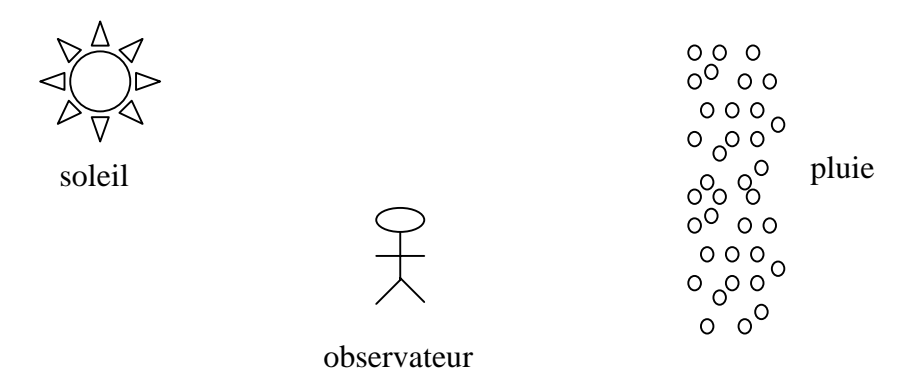


Figure 2.

### 3 Question préliminaire

3.1 Dans quelle direction regarde l'observateur pour apercevoir l'arc-en-ciel ?

### 4 Modélisation

Dans un premier temps, on s'intéresse au parcours des rayons du soleil dans une goutte d'eau modélisée par une sphère, de centre O et de rayon R, qu'on supposera immobile dans l'air. Cette goutte est éclairée par un faisceau de lumière parallèle dont un rayon x'A atteint la sphère en A où il se réfracte. On pose  $(\overrightarrow{OA}, \overrightarrow{Ax'}) = i$  et $(\overrightarrow{AO}, \overrightarrow{AB}) = r$ , les angles d'incidence et de réfraction (cf. figure 3). Soit B le point où le rayon réfracté rencontre la sphère. En B la lumière peut être soit réfractée soit réfléchie, mais on ne considère ici que le rayon réfléchi. Le rayon réfléchi en B rencontre de nouveau la sphère en C où il se réfracte selon Cy. On note  $\alpha = (\overrightarrow{OX'}, \overrightarrow{Cy})$ .

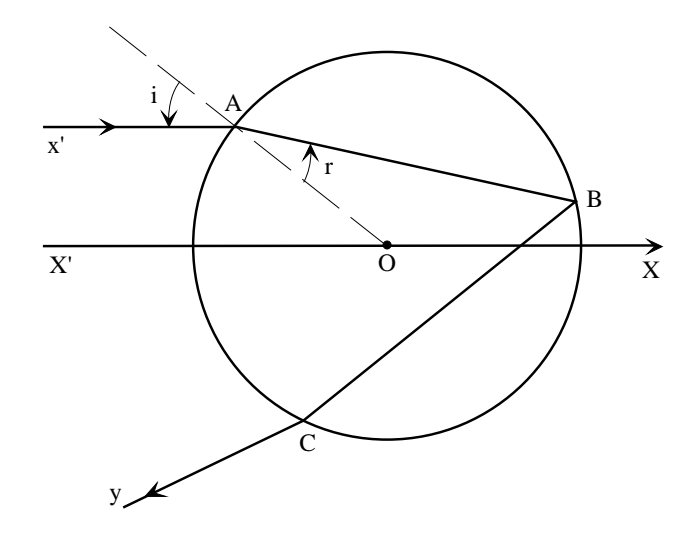


Figure 3.

On note n l'indice de réfraction de la goutte.

Dans un premier temps, on suppose que la lumière incidente est monochromatique de longueur d'onde  $\lambda$ .

Dans les questions qui suivent, on analyse la pertinence du modèle proposé. Les réponses aux questions se doivent d'être claires et concises.

- 4.1 Donner un <u>ordre de grandeur</u> de  $\lambda$ .
- 4.2 Etablir une approximation portant sur R et  $\lambda$  à partir de laquelle on peut négliger le phénomène de diffraction et ainsi assimiler la lumière traversant la goutte à des rayons lumineux (hypothèse de l'optique géométrique).
  - Cette approximation vous semble-t-elle valable dans le cas présent ?

## 5 Etude quantitative avec n constant

Le modèle étant supposé pertinent, on se propose maintenant de quantifier le phénomène de l'arc-enciel. On commence par supposer n constant et on cherche à analyser les conséquences des variations de i.

- 5.1 A quelle condition sur l'angle r existe-t-il dans la goutte une réflexion totale en B?
- 5.2 Déterminer l'expression de  $\alpha$  en fonction des angles r et i.
- 5.3 Etablir l'expression de la dérivée partielle  $\partial \alpha / \partial i$  en fonction de  $\partial r / \partial i$ .
- 5.4 En déduire la valeur numérique de  $\partial r/\partial i = (\partial r/\partial i)_E$  pour laquelle  $\alpha$  est extremum.

Dans la suite du problème, on admettra que l'intensité lumineuse réfléchie par la goutte est maximale lorsque  $\alpha$  passe par son extremum.

- 5.5 A partir d'une des lois de Descartes, déterminer l'expression de  $\partial r/\partial i$  en fonction i, n et r.
- 5.6 Etablir l'expression de  $cos(i_E)$ , où  $i_E$  est la valeur de i pour laquelle  $\alpha$  est extremum.
- 5.7 Etablir l'expression de  $\cos(r_E)$ , où  $r_E$  est la valeur de r pour laquelle  $\alpha$  est extremum.
- 5.8 En déduire l'expression de l'extremum de  $\alpha$ ,  $\alpha_E$ , en fonction de n.

#### 6 Rôle du phénomène de dispersion

En fait l'indice de réfraction n dépend de la longueur d'onde de la lumière incidente (phénomène de dispersion). Dans le rouge,  $n = n_{rouge} = 1,331$  et dans le violet,  $n = n_{violet} = 1,337$ .

- 6.1 Indiquer la position des longueurs d'onde du rouge et du violet dans le spectre visible.
- 6.2 Donner un autre exemple de milieu dispersif.

- 6.3 Calculer les valeurs numériques de  $\alpha_E$  lorsque  $n = n_{rouge}$  et  $n = n_{violet}$ .
- 6.4 La partie extérieure d'un arc-en-ciel est-elle rouge ou violette ?
- 6.5 En raisonnant sur les symétries du problème, expliquer la forme en arc de cercle d'un arc-enciel.
  Faire un schéma s'inspirant de la figure 4 décrivant le phénomène de l'arc-en-ciel.

Dans certaines conditions, l'observateur peut discerner deux arcs-en-ciel l'un au dessus l'autre.

6.6 Expliquer ce phénomène.

#### TROISIEME PROBLEME

#### MODELISATION D'UN BOBINAGE

Dans ce problème, on cherche à modéliser un bobinage électrique dans le but de déterminer les valeurs des paramètres du modèle qui permettent à ce bobinage de fournir un champ magnétique d'environ 1 Tesla.

Le bobinage est assimilable au solénoïde épais représenté sur la figure 4.

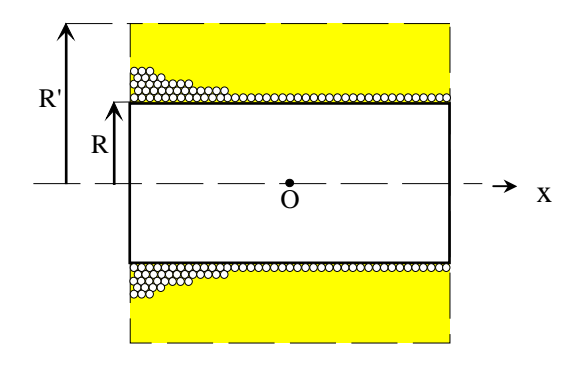


Figure 4.

On donne :  $\mu_0 = 4\pi . 10^{-7} \text{ H.m}^{-1}$ .

### 7 Spire circulaire

Dans un premier temps on s'intéresse à une spire circulaire, de centre O et d'axe Ox. Cette spire de rayon R, est contenue dans le plan Oyz orthogonal à son axe Ox. Elle est parcourue par un courant d'intensité constante I.

- 7.1 En raisonnant sur les symétries du problème et en choisissant un sens de parcours du courant dans la spire, déterminer la direction du champ magnétique  $\mathbf{B}_{SP}(\mathbf{O})$  créé au centre de la spire.
- 7.2 Représenter l'allure des lignes du champ magnétique créées par la spire.
- 7.3 Enoncer la loi de Biot-Savart.
- 7.4 Déterminer l'intensité  $B_{SP}(O)$  du champ magnétique au centre de la spire.
- 7.5 <u>Application numérique</u>: on fixe R = 5 cm. Calculer la valeur de I pour avoir  $B_{SP}(O) = 1$  T. Conclusion?
- 7.6 En raisonnant sur les symétries du problème et en choisissant un sens de parcours du courant dans la spire, déterminer la direction et l'intensité du champ magnétique  $B_{SP}(M)$  créé par cette spire en un point M de l'axe Ox.
  - On exprimera  $B_{SP}(M)$  en fonction de l'angle  $\theta$  sous lequel est vu le rayon R depuis le point M.

### 8 Solénoïde

On considère maintenant un solénoïde de longueur L, formé de N spires jointives identiques de rayon R parcourues par l'intensité I. On note n le nombre de spires par unité de longueur.

- 8.1 Déterminer le champ élémentaire  $dB_{SO}(M)$  créé en un point M de l'axe du solénoïde par une tranche élémentaire de n.dx spires jointives en fonction de l'angle  $\theta$  sous lequel est vu cette tranche depuis le point M.
- 8.2 En déduire l'expression de  $B_{SO}(M)$  en fonction de  $\mu_0$ , I, n et des angles  $\theta_1$  et  $\theta_2$  sous lesquels on voit les deux faces du solénoïde depuis le point M.
- 8.3 Exprimer le champ magnétique  $B_{SO}(O)$  au centre du solénoïde en fonction de  $\mu_0$ , I, n, L et R.

# 9 Solénoïde épais

On superpose maintenant plusieurs couches de spires qu'on pourra considérer comme des solénoïdes jointifs ayant même nombre n de spires par unité de longueur, coaxiaux, de rayon r variant de R à R' (cf. figure 4). Toutes ces spires sont parcourues par le même courant I circulant dans le même sens. On note n' le nombre de solénoïdes par unité d'épaisseur.

- 9.1 Exprimer le champ élémentaire  $dB_S(O)$  créé au centre O par les couches comprises entre r et r + dr.
- 9.2 En déduire le champ magnétique B<sub>S</sub>(O) créé en O.

On rappelle que 
$$\int_{x_1}^{x_2} \frac{dx}{\sqrt{1+x^2}} = \ln \left( \frac{x_2 + \sqrt{1+x_2^2}}{x_1 + \sqrt{1+x_1^2}} \right).$$

- 9.3 Avec L = 2 R' = 4 R, montrer que  $B_s(O) \approx 0.2 \mu_0 n n' L I$ .
- 9.4 <u>Application numérique</u>: on souhaite obtenir en O un champ de 1 Tesla avec I = 30 A et L = 10 cm. Calculer le nombre total N' de spires puis la longueur totale du fil nécessaire.